



## WS<sub>2</sub> Synthesis and Characterization by Hydrothermal Method

Adem KARA<sup>\*1</sup>, Mehmet ERTUĞRUL<sup>2</sup>

<sup>1</sup>Bayburt Üniversitesi, Merkezi Araştırma Laboratuvarı Uygulama ve Araştırma Merkezi, Bayburt, Türkiye

<sup>2</sup>Atatürk Üniversitesi, Mühendislik Fakültesi, Elektrik -Elektronik Mühendisliği Bölümü, Erzurum, Türkiye

### Keywords:

Hydrothermal Method  
WS<sub>2</sub> synthesis  
TMDs

### Abstract

In this study, Tungsten disulfide (WS<sub>2</sub>) Transition Metal Dichalcogenide (TMD), which has been used in energy storage devices, photovoltaics, electro catalysts, electronic devices, sensors and biomedical applications in recent years, has been synthesized by using hydrothermal method. WS<sub>2</sub> was synthesized in the nano flower structure by hydrothermal method in one step without using any surfactant. The effect of temperature and NaWO<sub>4</sub>.2H<sub>2</sub>O/CH<sub>3</sub>CSNH<sub>2</sub> stoichiometric ratio was investigated in WS<sub>2</sub> synthesis. WS<sub>2</sub> nano structures obtained in this study were characterized by using XRD, SEM and EDS methods.

## Hidrotermal Yöntem ile WS<sub>2</sub> Sentezi ve Karakterizasyonu

### Anahtar Kelimeler:

Hidrotermal Yöntem  
WS<sub>2</sub> sentezi  
TMDs

### Özet

Bu çalışmada, son yıllarda enerji depolama aygıtları, fotovoltaikler, elektro katalizörler, elektronik aygıtlar, sensör ve biyomedikal uygulamalarında kullanılmakta olan Tungsten disülfit (WS<sub>2</sub>) Geçiş Metali Dikalkojenit (TMD) hidrotermal yöntem kullanılarak sentezlenmiştir. WS<sub>2</sub> herhangi bir sürfaktant kullanmadan tek bir basamakta hidrotermal yöntem ile nano flower yapısında sentezlenmiştir. WS<sub>2</sub> sentezinde sıcaklık ve NaWO<sub>4</sub>.2H<sub>2</sub>O/CH<sub>3</sub>CSNH<sub>2</sub> stokiyomerik oranın etkisine araştırılmıştır. Bu çalışmada elde edilen WS<sub>2</sub> nano yapıları XRD, SEM ve EDS yöntemleri kullanılarak karakterize edilmiştir.

## 1 GİRİŞ

Grafenin olağanüstü elektronik ve fiziksel özelliklerinin keşfedilmesinden sonra, metal kalkojenitler, geçiş metal oksitler ve diğer iki boyutlu (2D) bileşikler gibi iki boyutlu tabakalı yapıda olan malzemeler yeniden araştırma konusu olmuştur[1, 2]. Birçok üstün elektronik, mekanik ve kimyasal özelliğinden dolayı, geçiş metali dikalkojenitler (TMDs) 2D tabakalı materyaller içinde önemli bir yer kaplamaktadır. TMDs'ler kimyasal bileşigine bağlı olarak çeşitli özellikler gösterirler. Bu TMDs'lerin bazıları yarı iletken (MoS<sub>2</sub>, WS<sub>2</sub>), yarı metal (Te<sub>2</sub>, TiSe<sub>2</sub>), gerçek metaller (NbS<sub>2</sub>, VSe<sub>2</sub>) ve süper iletkenler (NbSe<sub>2</sub>, TaS<sub>2</sub>) özelliğine sahiptirler[2, 3]. Atomik ölçekte kalınlığa sahip olan bu tabakalı 2D nano yapılar, bulk halleri ile karşılaşıldığında olağandışı ve büyülüyici özellikler sergilerler [12]. Bu nedenle, başta elektronik cihazlar [4, 5], optik elektronik cihazlar [6, 7], gaz sensörleri [8, 9] ve enerji depolama cihazları [10, 11] olmak üzere TMD'ler pek çok alanda potansiyel uygulamaları vardır[12].

### 1.1 Geçiş Metali Dikalkojenitler (TMDs)

Grafenin keşfinden sonra 2D malzemeler üzerine çalışmalar yoğunlaşmış olup yeni 2D malzemelerin geliştirilmesi için farklı özellikte malzemeler üretilmiştir [13, 14]. Özellikle 2D inorganik nanomalzemeler olan TMDs'ler; MoS<sub>2</sub>, TiS<sub>2</sub>, TaS<sub>2</sub>, WS<sub>2</sub>, MoSe<sub>2</sub>, WSe<sub>2</sub> gibi tek ve çok katmanlı nano tabaka yapıları araştırmacıların dikkatini üzerine çekmektedir [2, 15]. Bu tek ve çok katmanlı TMDs'ler ayarlanabilir bang-gap, yüksek katalitik/elektro katalitik aktiviteler ve iyi mekanik mukavemet gibi ilgi çekici özellikler sergilemektedir [33]. TMDs'lerin genel formülü MX<sub>2</sub> şeklinde olup burada M harfi ile gösterilen (Mo, W, Ti, Zr ve Hf) geçiş metalleri iken, X harfi ise kalkojenitleri (S, Se ve Te gibi) temsil etmektedir [13]. TMD nanomalzemeler geçiş metali serisinin 4-10 grubunda

bir geçiş metal (M) ile kükürt, selenyum ve tellür gibi iki kalkojen (X) elementten oluşur. Genellikle, 8-10 grup geçiş metallerine sahip olan TMD'ler tabakalı yapıya sahipken, 4-7 grup geçiş metallerini içeren bileşikler tabakalı yapıya sahiptir[16].

H														He				
Li	Be													B	C	O	F	Ne
Na	Mg	3	4	5	6	7	8	9	10	11	12	Al	Si	S	Cl	Ar		
K	Ca	Sc	Ti	V	Cr	Mn	Fe	Co	Ni	Cu	Zn	Ga	Ge	Se	Br	Kr		
Rb	Sr	Y	Zr	Nb	Mo	Tc	Ru	Rh	Pd	Ag	Cd	In	Sn	Te	I	Xe		
Cs	Ba	La-Lu	Hf	Ta	W	Re	Os	Ir	Pt	Au	Hg	Tl	Pb	Po	At	Rn		
Fr	Ra	Ac-Lr	Rf	Db	Sg	Bh	Hs	Mt	Ds	Rg	Cn	Uut	Fl	Lv	Uus	Uos		

Şekil 1. Geçiş metalleri ve kalkojenitlerin periyodik sıralamada gösterimi [12].

Periyodik tabloda üzerinde üç farklı renklerle gösterilen geçiş metalleri, olası tabakalı (yeşil) veya tabakasız (kahverengi) yapıları şekilde 1'de gösterilmektedir. Zayıf Van der Waals kuvvetleri ile bağlanmış metal atomlarının hekzagonal paketlenmiş tabakalarından oluşmuştur. Her bir tabaka 6-7 Å kalınlığında sahiptir [14]. Metal atomları TMD bağ durumunu doldurmak için 4 elektron sağlar. Metalin oksidasyon durumu ve kalkojenit atomları sırayla +4 ve +2 değerliğinde olduğunu göstermektedir. M-X atomlarının bağ uzunlukları metal ve kalkojen iyonlarının boyutlarına bağlı olarak 3,15 ve 4,03 Å arasında değişir. Tabakalar, geçiş-metalli atomlarına kovalent olarak bağlanan kalkojen atomları tarafından sandviç yapısında çevreleyen geçiş-metalli atomlarından oluşur[17]. Fakat tabakalar arasında ise Van der Waals tipin bir etkileşim ile bağlanmışlardır.

2D TMD'ler çeşitli özellikler sunabilecek geniş yüzey alanına sahip olmasına ek olarak, iki boyutlu tabaka içinde M ve X atomlarının yönelimleri, yapısal değişiklikler ve TMD'lerin yapısı değiştirilerek istenilen amaca uygun özellikler elde edilebilir. Ayrıca, metal özelliğinden yarı iletkenliğe kadar değişen iletkenlik olasılığı dahil, birçok ilginç olasılıklar ortaya çıkar. Dolayısıyla floresan ve elektrokimyasal performans özellikleri değişkenlik gösterir[14]. 2D TMD'ler elektro-katalitik hidrojen çevrimi, lityum iyon bataryalar ve süper kapasitörler gibi depolanmasındaki uygulamaları bulunmaktadır [18, 19]. Ancak TMD'ler kullanımında yaklaşan eğilim, geniş yüzey alanı, floresan, elektrik iletkenliği ve hızlı heterojen elektron transferi avantajlarında yararlanılarak sensor ve biyosensor aygıtlara uzanmaktadır[20, 21].

Bu çalışmada stokiyometrik oranı koruyarak hidrotermal yöntem ile büyütme parametrelerinin optimizasyonu amacıyla WS<sub>2</sub> nano yapılarının sentezi ve analizleri yapılmıştır.

## 2 MATERİYAL VE METOD

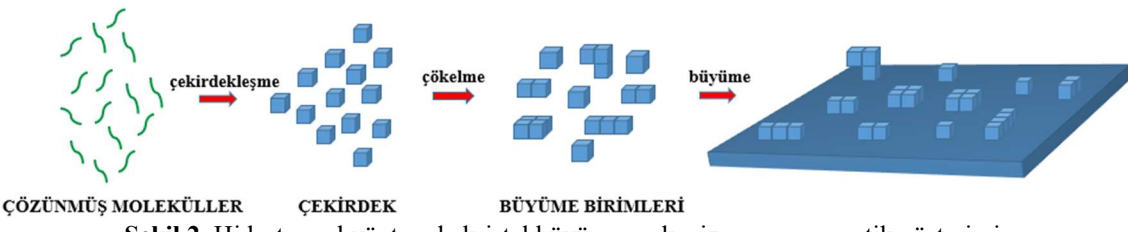
### 2.1 Materyaller

Tungsten Disülfit (WS<sub>2</sub>) sentezinde, metal kaynağı olarak metal tuzu sodyum tungsten iki hidrat (NaWO<sub>4</sub>·2H<sub>2</sub>O), sülfür kaynağı olarak tiyoasetamid (CH<sub>3</sub>CSNH<sub>2</sub>) indirgeyici ajan olarak ve oksalik asit (C<sub>2</sub>H<sub>2</sub>O<sub>4</sub>), çözücü olarak deionize su kullanılmıştır. Çözeltinin pH değerini ayarlamak için oksalik asit (C<sub>2</sub>H<sub>2</sub>O<sub>4</sub>) ve reaksiyon kabı olarak 50 ml'lik PTFE (Teflon) ve paslanmaz çelik otoklav kullanılmıştır. Kullanılan kimyasallar ticari firmalardan yüksek saflıkta (>%99,9) temin edildiği için herhangi bir saflaştırma işlemi yapılmamıştır.

### 2.2. Metot

İki boyutlu malzeme sentezinde çeşitli yöntemler kullanılmaktadır. TMDs'lerin sentezi ve üretimi için birçok metot olmasına rağmen, bu tekniklerin birçoğu vakum sistemi, yüksek sıcaklık ve kompleks kontrol sistemi içermektedir. Hidrotermal yöntem kullanmanın bir çok avantajı vardır[22]. Maliyetinin az olması, toksik olmaması ve uygulama kolaylığı gibi avantajlarından dolayı hidrotermal yöntem WS<sub>2</sub> sentezi için uygun bulunmuştur. Hidrotermal yöntemi ile materyal sentezi, çözeltiden doğrudan malzemenin kristallendirme işlemidir. Kristal çekirdeklesmesi ve sonrasında çekirdek büyümesi olarak iki basamaktan oluşmaktadır. Sıcaklık, pH, reaktant

konsantrasyonu ve katkı maddeleri gibi prosesi etkileyen değişkenler kontrol edilerek, arzu edilen parçacık boyutunda ve morfolojisinde ürün elde edilebilir. Kimyasal kompozisyonun ve parçacığın şekil ve boyutunun kontrolüne imkan sağlayan ana faktör, aşırı doygunluğa bağlı olarak genel çekirdeklesme ve büyümeydir [23]. Çekirdeklesme, çözeltinin çözünürlüğünün çözelti sınırını aşığı zaman, yani çözelti aşırı doygunluğa ulaşlığı zaman meydana gelir. Çekirdeklesen tanecikler makroskopik boyutta kristal kümeleri halinde çöker [24]. Kristal içeriği ile aynı bileşene sahip olan büyüyen birimlerin birleşmesini içeren bir seri proses yolu ile sırasıyla ve eş zamanlı olarak kristaller büyürler. Fakat farklı kristal yapıpala sahiptirler. Hidrotermal yöntem ile kristal büyütmenin mekanizmasını geniş bir şekilde tanımlayan şematik gösterim şekil 2.'de verilmiştir.



Şekil 2. Hidrotermal yöntemde kristal büyümeye mekanizmasının şematik gösterimi.

Otoklav içerisinde sıcaklık doygun buhar basıncına ulaşan suyun kaynama noktasının üzerine çıkabilir. Çözelti bileşenlerinin düzenlenmesi, reaksiyon sıcaklığı, çözücü özellikleri, katkı maddeleri ve yaşlandırma zamanı ile tanecik boyutu, parçacık morfolojis, kristal faz ve yüzey kimyasını kontrol etmek hidrotermal metod ile mümkündür[25].



Şekil 3. Bir otoklav ve parçaları

Üç farklı beher içerisinde 10 ml deionize su koyularak ayrı ayrı sodyum tungsten iki hidrat ( $\text{NaWO}_4 \cdot 2\text{H}_2\text{O}$ ) (1 mmol), tiyoasetamid ( $\text{CH}_3\text{CSNH}_2$ ) (5 mmol) ve oksalik asit ( $\text{C}_2\text{H}_2\text{O}_4$ ) (1 gr) çözülür. Sodyum tungsten iki hidrat ve tiyoasetamid birleştirilerek bir manyetik karıştırıcı yardımı ile 60 °C'de 15 dakika karıştırılır. Karışım üzerine oksalik asit damla damla ilave edilir (pH:3 olana kadar ilave edilir). Bu karışımmda yine 60 °C'de 30 dakika karıştırıldıktan sonra 50 ml'lik PTFE kap içerisine aktarılırak kapağı kapatılır. Çelik otoklav içerisinde yerleştirilen ve kapağı sıkıca kapatılan reaktör etüve konur ve 180 °C'de 24 saat süre ile bekletilir. Daha sonra etüvden çıkarılarak oda sıcaklığında soğumaya bırakılır. PTFE içerisindeki karışım bir ayıra hunisine alınarak etanol ve saf su ile birkaç kez yıkılır. Daha sonra siyah renkte olan çökelek, bir süzgeç kâğıdı ile süzülerek ayrılır. Süzülerek alınan kısım 70 °C'de 4 saat boyunca hava atmosferinde kurutulur.

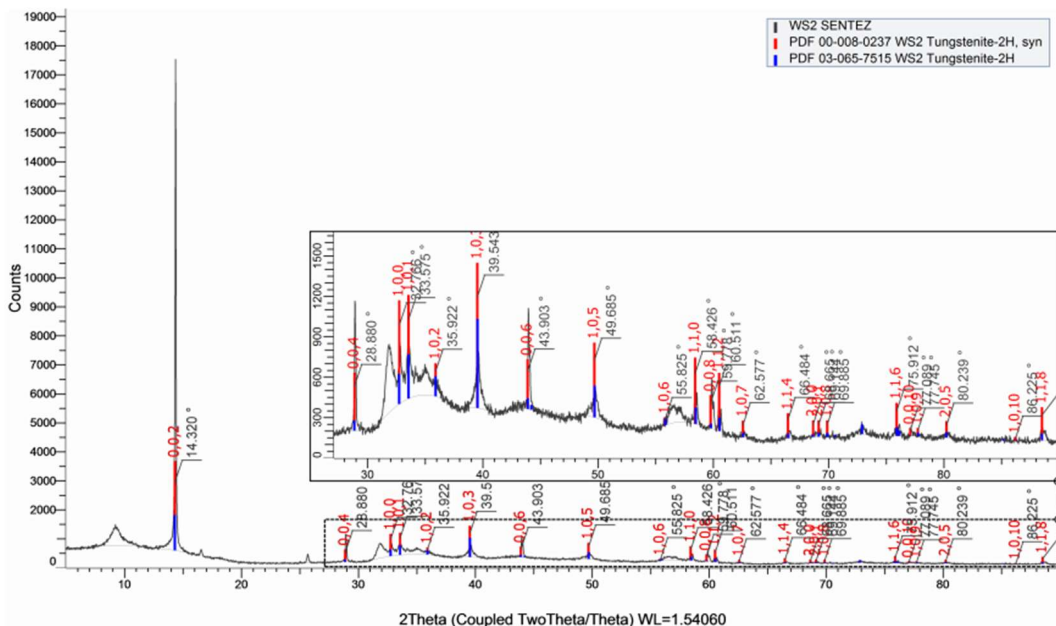
### 3 BULGULAR

1/5 stokiyomerik oranına göre; 1 mmol  $\text{NaWO}_4 \cdot 2\text{H}_2\text{O}$  ile 5 mmol  $\text{CH}_3\text{CSNH}_2$  karıştırılarak ve 1 gr oksalik asit ile pH:3'e ayarlanan karışımın, 180 °C'de 24 saat bekletilerek elde edilen ürünün karakterize işlemi aşağıda verilmiştir. Ürünü karakterize etmek için XRD (Bruker, D8 Discover), SEM ve EDS (FEI Nova NanoSEM 450) analizleri yapılarak numunenin kimyasal yapısı ve morfoloji hakkında bilgi elde edilmiştir. Aşağıda sırayla yapılan analiz ve açıklaması verilmiştir.

#### 3.1. XRD analizi

Sentezlenen WS<sub>2</sub> toz halinde olduğu için doğrudan analiz işlemi yapılmıştır. Şekil 4.'de alınan XRD difraksiyonunda sentezlenen WS<sub>2</sub> kristal yapısını ve faz saflığını göstermektedir. Ayrıca şekil 4.'de verildiği üzere PDF 03-065-7515 ve PDF 00-008-0237 kartları ile uyumlu olduğu görülmektedir [30-32]. 20 açısına karşılık gelen 14.32, 28.88, 32.76, 33.57, 39.54, 43.90, 49.68, 55.82, 58.42, 59.77, 60.51 ve 62.57°'ye karşılık gelen pikler

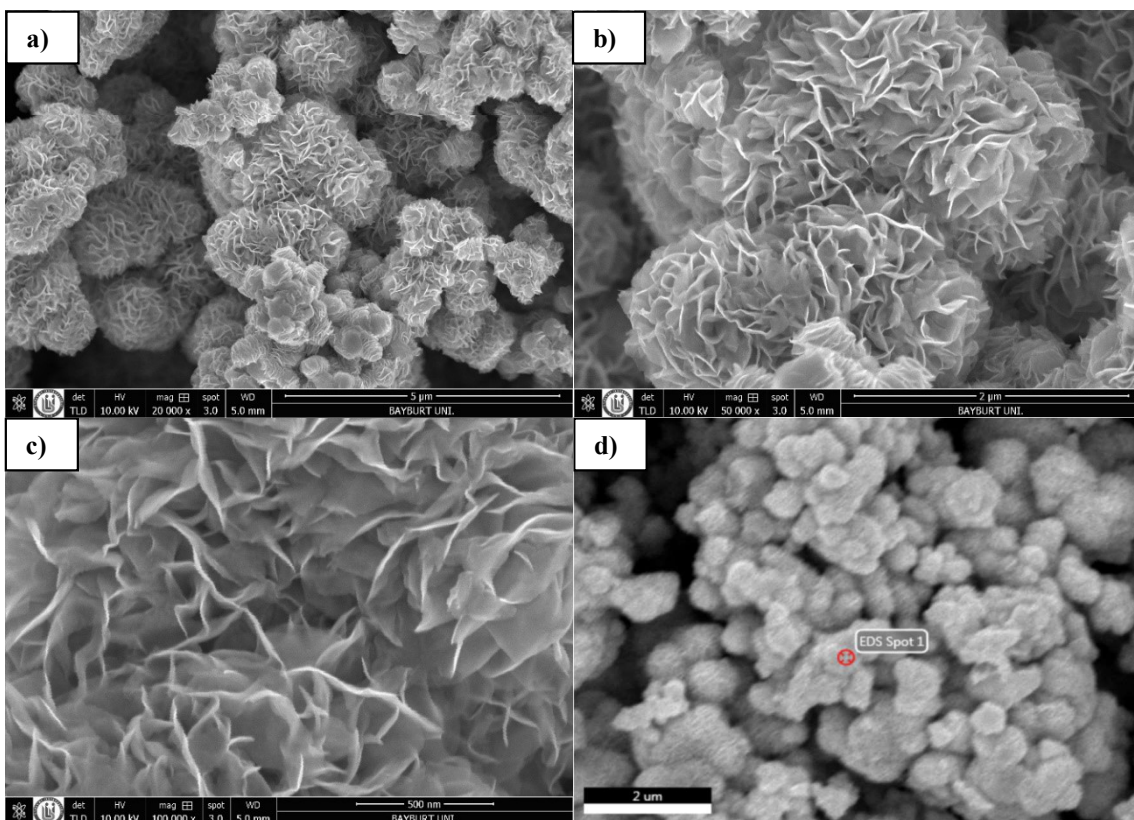
WS<sub>2</sub>'un karakteristik pikleri olup (002, 004, 100, 101, 102, 103, 006, 105, 106, 110, 008, 112 ve 107) düzlemlerine karşılık gelmektedir. Hekzagonal yapıda  $a=3,154$ ,  $c=12,36$ ,  $a/b=1$  ve  $c/b=3,918$  olduğu anlaşılmıştır. 14.32° pik için hesaplanan kristal boyutu 915.3 Å yani 91.53 nm çapında olduğu Bruker EVA 4.3. programı ile hesaplanmıştır. Bu işlemde 14.32°deki pik WS<sub>2</sub>'un karakteristik ana piki olduğu için hesaplamlarda bu pik dikkate alınmıştır.



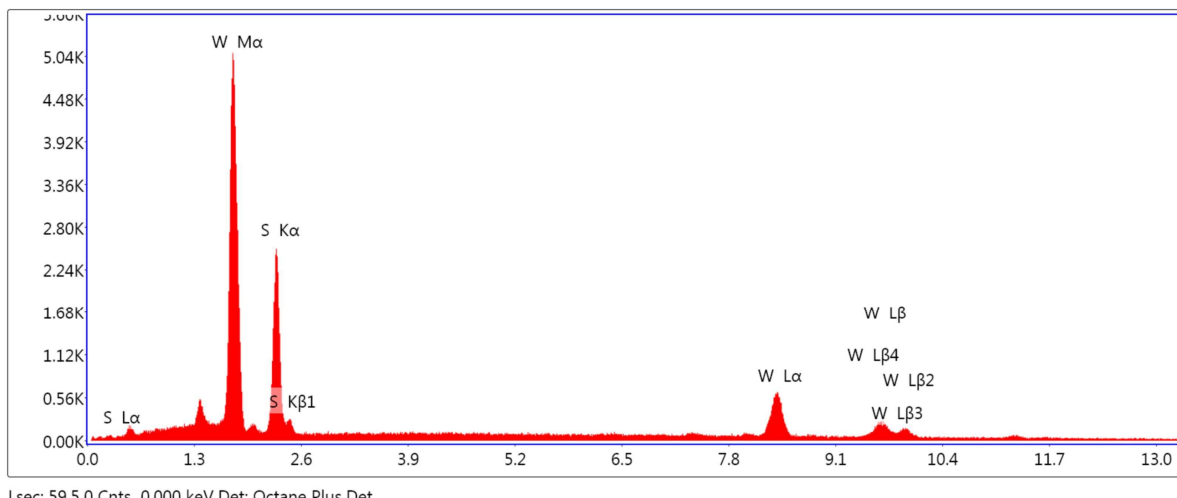
**Şekil 4.** Sentezlenen WS<sub>2</sub> için yapılan XRD analizleri

### 3.1. SEM Görüntüleri ve EDS Analizleri

İkinci olarak SEM ve EDS analizi yapılmıştır. Farklı büyütme oranlarında alınan SEM görüntülerinde WS<sub>2</sub>'e özel nano gül (nano flower) yapılarının görüldüğü ve literatür ile uyumlu olduğu anlaşılmıştır [26-29]. Ayrıca Şekil 5'de farklı büyütme oranlarında (a) 20 bin, b) 50 bin ve c) 100 bin büyütme) alınan görüntülerde yaklaşık 2-5 μm arasında değişen çaplarda düzenli olarak dağılmış nano gül yapılarının olduğu ve bu nano gül yapısı içerisinde ise katmanlı yapıda WS<sub>2</sub> tabakaları görülmektedir. Yine aynı alanda yapılan EDS analizi görüntüsü Şekil 5.d' de gösterilmiştir. Sentezlenen maddenin elementel kompozisyonunu belirlemek içim EDS analizi yapılmış ve şekil 6'da verilmiştir. EDS spektrumda sadece W ve S atomlarının sırayla K ve L kabuklarından gelen elektron enerjileri görülmektedir. Bu analizde WS<sub>2</sub> sentezinin gerçekleştiğinin bir başka kanıtıdır. Ayrıca EDS analizindeki atomik orana bakıldığından 32,26:7,76 (0,48) oranında olduğu görülmektedir. WS<sub>2</sub> bileşliğinde bir tungsten atomuna karşılık iki küküt atomunun karşılık geldiği dikkate alındığında sentezlenen ürünün WS<sub>2</sub> olduğunu EDS analiz de anlaşılmaktadır.



**Şekil 5. a, b ve c)** Sentezlenen WS<sub>2</sub>'un farklı büyütme oranlarında alınan SEM görüntüleri ve **d)** EDS analizi yapıldığı bölgenin görüntüsü.

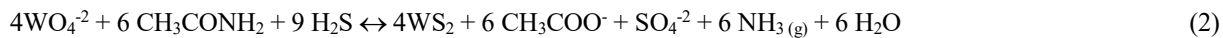


Element	% Ağırlık	% Atomik	Net Int.	% Hata	K oranı	Z	R	A	F
S K	26.80	67.74	346.07	7.71	0.15	1.31	0.82	0.42	1.01
W L	73.20	32.26	161.19	6.98	0.70	0.86	1.06	1.01	1.09

**Şekil 6.** Sentezlenen WS<sub>2</sub>'un yapılan EDS analizi

Yukarıdaki deneysel sonuçlara dayanarak, sümbül çiçeği benzer WS<sub>2</sub> nano flower sentezi için olası bir oluşum mekanizması önerilmektedir. Bilindiği gibi, Na<sub>2</sub>WO<sub>4</sub>'ın hidrotermal işlemde asidik ortamda WO<sub>3-x</sub> dönüştürülmesi kolaydır [14]. Ayrıca tiyoasetamid, sulu ortamda CH<sub>3</sub>CONH<sub>2</sub> + H<sub>2</sub>S bozularak H<sub>2</sub>S gazının çıkışmasına sebep olur [15]. Ardından, WO<sub>3-x</sub> hidrotermal prosesinde H<sub>2</sub>S yardımı ile WS<sub>2</sub>'ye indirgenebilir. Küükürt (S) kaynağı olarak tiyoasetamid kullanılarak WS<sub>2</sub>'nin sentezi için muhtemel reaksiyon aşağıda denklem 1 ve denklem 2'deki gibi ifade edilebilir:





## 4 SONUÇLAR

Bu çalışma kapsamında, WS<sub>2</sub> hidrotermal yöntemle sentezi gerçekleştirilmiş ve karakterize edilmiştir. 180, 200, 220 ve 240 °C'de gibi farklı sıcaklıklar ve 1/3, 1/5 ve 1/10 NaWO<sub>4</sub>.2H<sub>2</sub>O/CH<sub>3</sub>CSNH<sub>2</sub> stokiyomerik oranlarda hazırlanan çözelti karışımı ile deneyler yapılmıştır. Tungsten disülfit (WS<sub>2</sub>) için 180 °C'nin altındaki sıcaklıklarda sentez gerçekleşmediği görülmüştür. Ancak 180 – 240 °C'de sıcaklık arasında ise büyük bir farklılık gözlenmemiştir. Tungsten disülfit (WS<sub>2</sub>) sentezinde NaWO<sub>4</sub>.2H<sub>2</sub>O/CH<sub>3</sub>CSNH<sub>2</sub> oranın daha önemli olduğunu anlaşılmıştır. İdeal oranın 1/5 olduğunu deneyel olara belirlenmiştir. 1/3 ve 1/10 oranında yapılan denemelerde tungsten disülfit (WS<sub>2</sub>) sentezi gerçeklemiş fakat verim %10'dan daha az olduğu hesaplanmıştır. Sülfür kaynağının az veya fazla olması reaksiyon dengesini bozmakla birlikte ürün verimliliğini de düşürmektedir. İki basamaklı ve bir denge reaksiyonu olan WS<sub>2</sub> sentezinde deneyel parametreler iyi belirlenmelidir. Bu çalışma neticesinde tungsten disülfit (WS<sub>2</sub>) sentezini için ideal şartlar, NaWO<sub>4</sub>.2H<sub>2</sub>O/CH<sub>3</sub>CSNH<sub>2</sub> için stokiyomerik oranın 1/5 ve sıcaklığın 180-240 °C' olduğu belirlenmiştir.

## Teşekkür

Bu çalışmada analizlerin yapılmasında alt yapısı kullanılan Bayburt Üniversitesi Merkezi Araştırma Laboratuvarı Uygulama ve Araştırma Merkezine (BUMER) ve merkezin yönetimi ve çalışanlarına; ayrıca deneyel çalışmalarla laboratuvar imkanlarını kullandığımız Doktor Öğretim Üyesi Yaşar Özkan YEŞİLBAĞ ve Doktor Öğretim Üyesi Fatma Nur TUZLUCA'ya, görüş ve önerilerinden yararlandığımız Doç. Dr. Mehmet Emin ARZUTUĞ'a, ve Doktor Öğretim Üyesi Arzu KANCA'ya katkılarından dolayı teşekkür ederiz.

## Kaynakça

- [1] R. Lv *et al.*, "Transition metal dichalcogenides and beyond: synthesis, properties, and applications of single- and few-layer nanosheets," *Accounts of chemical research*, vol. 48, no. 1, pp. 56-64, 2014.
- [2] C. Tan and H. Zhang, "Two-dimensional transition metal dichalcogenide nanosheet-based composites," *Chemical Society Reviews*, vol. 44, no. 9, pp. 2713-2731, 2015.
- [3] R. Lv *et al.*, "Two-dimensional transition metal dichalcogenides: Clusters, ribbons, sheets and more," *Nano Today*, vol. 10, no. 5, pp. 559-592, 2015, doi: 10.1016/j.nantod.2015.07.004.
- [4] J. Luo, S. Zhang, M. Sun, L. Yang, S. Luo, and J. C. Crittenden, "A critical review on energy conversion and environmental remediation of photocatalysts with remodeling crystal lattice, surface, and interface," *ACS nano*, vol. 13, no. 9, pp. 9811-9840, 2019.
- [5] X. Yu, G. Zhou, and Y. Cui, "Mitigation of Shuttle Effect in Li–S Battery Using a Self-Assembled Ultrathin Molybdenum Disulfide Interlayer," *ACS applied materials & interfaces*, vol. 11, no. 3, pp. 3080-3086, 2018.
- [6] W. Cho *et al.*, "Direct Synthesis of Six-Monolayer (1.9 nm) Thick Zinc-Blende CdSe Nanoplatelets Emitting at 585 nm," *Chemistry of Materials*, vol. 30, no. 20, pp. 6957-6960, 2018.
- [7] S. Liu, D. Li, G. Zhang, D. Sun, J. Zhou, and H. Song, "Two-Dimensional NiSe<sub>2</sub>/N-Rich Carbon Nanocomposites Derived from Ni-Hexamine Frameworks for Superb Na-Ion Storage," *ACS applied materials & interfaces*, vol. 10, no. 40, pp. 34193-34201, 2018.
- [8] S. Karunakaran, S. Pandit, B. Basu, and M. De, "Simultaneous Exfoliation and Functionalization of 2H-MoS<sub>2</sub> by Thiolated Surfactants: Applications in Enhanced Antibacterial Activity," *Journal of the American Chemical Society*, vol. 140, no. 39, pp. 12634-12644, 2018.
- [9] W. Wang *et al.*, "Ultrathin Nanosheets Assembled Hierarchical Co/NiS x@ C Hollow Spheres for Reversible Lithium Storage," *ACS Applied Nano Materials*, vol. 1, no. 7, pp. 3435-3445, 2018.
- [10] N. Dhenadhayalan, T.-W. Lin, H.-L. Lee, and K.-C. Lin, "Multisensing Capability of MoSe<sub>2</sub> Quantum Dots by Tuning Surface Functional Groups," *ACS Applied Nano Materials*, vol. 1, no. 7, pp. 3453-3463, 2018.
- [11] M. Zeng, Y. Xiao, J. Liu, K. Yang, and L. Fu, "Exploring two-dimensional materials toward the next-generation circuits: from monomer design to assembly control," *Chemical reviews*, vol. 118, no. 13, pp. 6236-6296, 2018.
- [12] S. A. Han, R. Bhatia, and S.-W. Kim, "Synthesis, properties and potential applications of two-dimensional transition metal dichalcogenides," *Nano Convergence*, vol. 2, no. 1, p. 17, 2015.
- [13] M. Pumera and A. H. Loo, "Layered transition-metal dichalcogenides (MoS<sub>2</sub> and WS<sub>2</sub>) for sensing and biosensing," *TrAC Trends in Analytical Chemistry*, vol. 61, pp. 49-53, 2014, doi: 10.1016/j.trac.2014.05.009.

- [14] M. Chhowalla, H. S. Shin, G. Eda, L.-J. Li, K. P. Loh, and H. Zhang, "The chemistry of two-dimensional layered transition metal dichalcogenide nanosheets," *Nature chemistry*, vol. 5, no. 4, p. 263, 2013.
- [15] M. Naguib, V. N. Mochalin, M. W. Barsoum, and Y. Gogotsi, "Two-Dimensional Materials: 25th Anniversary Article: MXenes: A New Family of Two-Dimensional Materials (Adv. Mater. 7/2014)," *Advanced Materials*, vol. 26, no. 7, pp. 982-982, 2014.
- [16] S. A. Han, R. Bhatia, and S.-W. Kim, "Synthesis, properties and potential applications of two-dimensional transition metal dichalcogenides," *Nano Convergence*, vol. 2, no. 1, 2015, doi: 10.1186/s40580-015-0048-4.
- [17] F. Schierwitz, "Nanoelectronics: Flat transistors get off the ground," *Nature nanotechnology*, vol. 6, no. 3, p. 135, 2011.
- [18] Z. Chen, A. J. Forman, and T. F. Jaramillo, "Bridging the gap between bulk and nanostructured photoelectrodes: the impact of surface states on the electrocatalytic and photoelectrochemical properties of MoS<sub>2</sub>," *The Journal of Physical Chemistry C*, vol. 117, no. 19, pp. 9713-9722, 2013.
- [19] M. Pumera, Z. Sofer, and A. Ambrosi, "Layered transition metal dichalcogenides for electrochemical energy generation and storage," *Journal of Materials Chemistry A*, Article vol. 2, no. 24, pp. 8981-8987, 2014, doi: 10.1039/c4ta00652f.
- [20] M. Wang, G. Li, H. Xu, Y. Qian, and J. Yang, "Enhanced Lithium Storage Performances of Hierarchical Hollow MoS<sub>2</sub> Nanoparticles Assembled from Nanosheets," *ACS Applied Materials & Interfaces*, vol. 5, no. 3, pp. 1003-1008, 2013/02/13 2013, doi: 10.1021/am3026954.
- [21] D. Merki, S. Fierro, H. Vrubel, and X. Hu, "Amorphous molybdenum sulfide films as catalysts for electrochemical hydrogen production in water," *Chemical Science*, 10.1039/C1SC00117E vol. 2, no. 7, pp. 1262-1267, 2011, doi: 10.1039/C1SC00117E.
- [22] M. R. Loghman-Estarki, H. Bastami, and F. Davar, "Synthesis of one-dimensional MS (M = Zn, Cd, and Pb) nanostructure by MAA assisted hydrothermal method: A review," *Polyhedron*, vol. 127, pp. 107-125, 2017, doi: 10.1016/j.poly.2017.01.057.
- [23] K. Sue *et al.*, "Size-controlled synthesis of metal oxide nanoparticles with a flow-through supercritical water method," *Green Chemistry*, vol. 8, no. 7, pp. 634-638, 2006.
- [24] X. Li and H. Zhu, "Two-dimensional MoS<sub>2</sub>: Properties, preparation, and applications," *Journal of Materiomics*, vol. 1, no. 1, pp. 33-44, 2015, doi: 10.1016/j.jmat.2015.03.003.
- [25] X. Chen, H. Li, S. Wang, M. Yang, and Y. Qi, "Biomolecule-assisted hydrothermal synthesis of molybdenum disulfide microspheres with nanorods," *Materials Letters*, vol. 66, no. 1, pp. 22-24, 2012, doi: 10.1016/j.matlet.2011.03.056.
- [26] S. Cao, T. Liu, S. Hussain, W. Zeng, X. Peng, and F. Pan, "Hydrothermal synthesis, characterization and optical absorption property of nanoscale WS<sub>2</sub>/TiO<sub>2</sub> composites," *Physica E: Low-dimensional Systems and Nanostructures*, vol. 68, pp. 171-175, 2015, doi: 10.1016/j.physe.2014.12.029.
- [27] S. Cao, C. Zhao, and L. Peng, "The 3D WS<sub>2</sub> microspheres: Preparation, characterization and optical absorption properties," *Materials Letters*, vol. 164, pp. 452-455, 2016, doi: 10.1016/j.matlet.2015.11.012.
- [28] S. Cao, C. Zhao, L. Peng, and T. Han, "Synthesis of uniform WS<sub>2</sub> nanoflowers via a sodium silicate-assisted hydrothermal process," *Journal of Materials Science: Materials in Electronics*, vol. 27, no. 4, pp. 3821-3825, 2015, doi: 10.1007/s10854-015-4228-0.
- [29] S. Cao, T. Liu, W. Zeng, S. Hussain, X. Peng, and F. Pan, "Synthesis and characterization of flower-like WS<sub>2</sub> nanospheres via a facile hydrothermal route," *Journal of Materials Science: Materials in Electronics*, vol. 25, no. 10, pp. 4300-4305, 2014, doi: 10.1007/s10854-014-2164-z.
- [30] S. Cao, "Preparation of embedded circular disk and balls-like WS<sub>2</sub> nano/microstructures, photocatalytic properties and exposure to ethanol gas," *Materials Letters*, vol. 185, pp. 460-463, 2016, doi: 10.1016/j.matlet.2016.09.055.
- [31] S. Masimukku, Y.-C. Hu, Z.-H. Lin, S.-W. Chan, T.-M. Chou, and J. M. Wu, "High efficient degradation of dye molecules by PDMS embedded abundant single-layer tungsten disulfide and their antibacterial performance," *Nano Energy*, vol. 46, pp. 338-346, 2018, doi: 10.1016/j.nanoen.2018.02.008.
- [32] J. Wang, Y. Wei, H. Li, X. Huang, and H. Zhang, "Crystal phase control in two-dimensional materials," *Science China Chemistry*, vol. 61, no. 10, pp. 1227-1242, 2018.